



MACHINE LEARNING CHALLENGE

Rapport MLChallenge

Élèves :

Bastien TAROT

Raphael MONNIER

Tanguy POINGT

Allan PLANCHENAULT

Enseignant :

Thibault GEOFFROY

15 septembre 2024

Table des matières

1	Introduction	2
1.1	Objectifs du Projet	2
1.2	Etat de l'art	2
1.2.1	Analyse de l'article [1] Automatic Analysis of Facial Affect : A Survey of Registration, Representation, and Recognition. L'auteur principal est Evangelos Sariyanidi.	2
1.2.2	Analyse de l'article [2] A Brief Review of Facial Emotion Recognition Based on Visual Information. L'auteur est Byoung Chul Ko. . .	4
1.2.3	Analyse de l'article [3] Facial Expression Recognition from 3D Facial Landmarks Reconstructed from Images. L'auteur principal est Limysh Kalapala.	4
2	Analyse des Données	5
2.1	Description des Données	5
2.2	Exploration des Données	5
3	Prétraitement et Extraction des Features	7
3.1	Dans le cas des points de repères 2D	7
3.2	Dans le cas des images	7
4	Modèle(s) choisi(s)	8
4.1	Paramétrage et Entraînement	8
4.1.1	Dans le cas des points de repères 2D	8
4.1.2	Dans le cas des images	8
4.2	Résultats	10
4.2.1	Dans le cas des points de repères 2D	10
4.2.2	Dans le cas des images	11
5	Évaluation des Modèles	12
5.1	Discussions et Limites	12
6	Conclusion	13

1 Introduction

La reconnaissance des émotions est un domaine en pleine expansion qui suscite l'intérêt de nombreux chercheurs en raison des défis complexes qu'il pose. Malgré les avancées réalisées, ce problème reste encore partiellement résolu. Ce champ d'étude est vaste, mais pour ce projet, nous nous concentrerons sur les émotions dites de base selon le modèle d'Ekman : la joie, la colère, le dégoût, la tristesse, la peur et la surprise, en ajoutant également l'absence d'émotion, c'est-à-dire l'état « neutre ».

1.1 Objectifs du Projet

Pour développer un système de reconnaissance des émotions en utilisant une approche de machine learning, il est généralement recommandé de suivre un pipeline structuré. Dans le cadre de ce projet, après la mise en place des différents sujets d'introduction nous aborderons les grands thèmes suivants :

Prétraitement et Extraction des Features : Les étapes nécessaires pour préparer les données et extraire les caractéristiques pertinentes pour la reconnaissance des émotions.

Modèles Choisis : Les différents modèles de machine learning sélectionnés pour cette tâche et les raisons de leur choix.

Évaluation des Modèles : Les méthodes et les métriques utilisées pour évaluer la performance des modèles de reconnaissance d'émotions.

Discussion des Résultats : Une analyse critique des résultats obtenus, mettant en évidence les points forts et les limitations des approches adoptées.

Cette structure permettra de couvrir de manière exhaustive les aspects clés du développement d'un système de reconnaissance des émotions, de la préparation des données à l'évaluation des modèles.

1.2 Etat de l'art

L'une des premières étapes de ce challenge était de se renseigner sur l'état de l'art de la reconnaissance des émotions. Nous nous sommes majoritairement intéressé à 3 articles que nous allons analyser dans la prochaine section.

1.2.1 Analyse de l'article [1] Automatic Analysis of Facial Affect : A Survey of Registration, Representation, and Recognition. L'auteur principal est Evangelos Sariyanidi.

Dans l'article, les auteurs commencent par présenter l'objectif des systèmes de reconnaissance des émotions, qui est d'identifier les actions faciales et les émotions associées, notamment en se basant sur le Facial Action Coding System (FACS). Le FACS code les expressions faciales en unités d'action (AUs) et distingue les émotions basiques (comme la joie et la peur) et non-basiques. L'article souligne aussi l'importance de l'évolution temporelle des expressions dans l'interprétation des émotions et mentionne les défis liés à

la reconnaissance des émotions spontanées.

Les auteurs expliquent aussi à quel point l'enregistrement du visage joue un rôle important dans la reconnaissance des émotions. Il existe trois stratégies principales d'enregistrement du visage : l'enregistrement de l'ensemble du visage, l'enregistrement de parties spécifiques, et l'enregistrement de points.

- **Enregistrement du visage entier** : Ce type d'enregistrement peut être rigide ou non-rigide. Les approches rigides utilisent des points clés (comme les yeux, le nez ou la bouche) pour transformer le visage en fonction d'un modèle type. Les approches non-rigides, en revanche, permettent de déformer le visage, par exemple en transformant un visage expressif en un visage neutre, afin de minimiser les erreurs liées aux expressions faciales.
- **Enregistrement par parties** : Cette méthode divise le visage en différentes zones (comme les yeux et la bouche). Chaque partie est traitée indépendamment pour garantir une meilleure précision.
- **Enregistrement de points** : Utilisé pour les représentations basées sur la forme, ce type d'enregistrement localise des points précis sur le visage afin de suivre les changements de forme liés aux expressions.

Chaque méthode d'enregistrement a ses avantages et ses inconvénients, et le choix de la technique dépend des objectifs du système de reconnaissance, notamment sa capacité à gérer les variations de pose de tête et d'expressions naturelles.

La partie suivante de l'article traite des méthodes de représentation faciale. Les auteurs classifient les représentations en deux grandes catégories : les représentations spatiales et les représentations spatio-temporelles. Les représentations spatiales analysent les images de manière indépendante, tandis que les représentations spatio-temporelles prennent en compte une séquence d'images, permettant ainsi de capturer les variations temporelles des expressions faciales. Parmi les représentations spatiales, on trouve les représentations basées sur l'apparence (comme les histogrammes des motifs locaux binaires - LBP - et les transformées de Fourier locales - LPQ), ainsi que les représentations basées sur la forme (qui décrivent les points caractéristiques du visage).

Ensuite, les auteurs examinent les techniques de réduction de la dimensionnalité pour diminuer la complexité computationnelle tout en préservant les informations pertinentes. Ces techniques incluent le pooling, qui regroupe les caractéristiques locales et augmente la tolérance aux erreurs d'enregistrement. Le choix des caractéristiques et l'extraction des caractéristiques (comme l'analyse en composantes principales, PCA) sont aussi abordés pour améliorer les performances des systèmes en réduisant la redondance des données.

Enfin, la section sur les modèles de reconnaissance explore les différentes approches statistiques pour la reconnaissance des émotions. Les systèmes modernes utilisent des techniques d'apprentissage automatique comme les machines à vecteurs de support (SVM), les réseaux bayésiens dynamiques (DBN), et les modèles de champs aléatoires conditionnels (CRF). Ces modèles permettent de modéliser les dépendances temporelles et spatiales, et certains exploitent la personnalisation des modèles pour s'adapter aux variations individuelles, comme les biais liés à l'identité.

1.2.2 Analyse de l'article [2] A Brief Review of Facial Emotion Recognition Based on Visual Information. L'auteur est Byoung Chul Ko.

Cet article présente un examen des méthodes de reconnaissance des émotions faciales (FER) basées sur l'information visuelle, un sujet crucial dans les domaines de la vision par ordinateur et de l'intelligence artificielle. La reconnaissance des émotions faciales a des applications variées, notamment dans l'interaction homme-machine, la réalité virtuelle, et les systèmes avancés d'assistance à la conduite.

L'article divise les approches en deux catégories principales : les méthodes classiques et les méthodes basées sur l'apprentissage profond. Dans les approches classiques, la reconnaissance des émotions se fait en trois étapes :

- Détection des visages et des composants faciaux.
- Extraction des caractéristiques spatiales et temporelles à partir de ces composants.
- Classification des émotions à l'aide d'algorithmes comme les SVM (machines à vecteurs de support), AdaBoost, et Random Forest.

Ces méthodes reposent sur des caractéristiques définies manuellement, comme les relations géométriques entre les composants faciaux ou les caractéristiques d'apparence globale comme les histogrammes de motifs binaires locaux (LBP). Cependant, elles présentent des limites face aux expressions spontanées et aux variations de pose.

Avec le développement des réseaux neuronaux profonds, l'apprentissage automatique a radicalement amélioré la performance de la FER. Les réseaux de neurones convolutionnels (CNN) sont largement utilisés pour extraire automatiquement des caractéristiques pertinentes à partir d'images faciales. Ces modèles éliminent la dépendance à des modèles basés sur la physique du visage, permettant une approche de bout en bout.

L'article décrit également des approches hybrides combinant des CNN pour les caractéristiques spatiales et des réseaux de mémoire à long terme (LSTM) pour capturer les dynamiques temporelles des expressions faciales dans les séquences vidéo. Ces méthodes permettent de mieux modéliser les variations temporelles des expressions faciales, offrant ainsi une meilleure performance dans la reconnaissance des émotions.

En conclusion, l'article souligne que bien que les approches basées sur l'apprentissage profond surpassent généralement les méthodes classiques, elles nécessitent des quantités massives de données et des capacités de calcul importantes. De plus, la reconnaissance des micro-expressions reste un défi, malgré les progrès récents.

1.2.3 Analyse de l'article [3] Facial Expression Recognition from 3D Facial Landmarks Reconstructed from Images. L'auteur principal est Limysh Kalapala.

Cet article aborde l'utilisation des points de repères 3D du visage pour la reconnaissance des émotions. Cette approche est généralement plus performante que l'utilisation de points de repères 2D, car elle n'est pas affectée par les changements de pose du visage et les variations d'éclairage. Elle se base sur plusieurs étapes :

- Extraction des points 3D : Les points de repère 3D sont extraits à partir d'images 2D en utilisant le modèle FAN

- Normalisation et conversion des points : Les coordonnées des points 3D sont converties en coordonnées sphériques et cartésiennes puis elles sont normalisées en centrant autour de la moyenne et en divisant par l'écart-type.
- Classification des émotions : Les points normalisés sont utilisés pour entraîner un modèle de classification des émotions. Parmi les modèles et algorithmes testés, les machines à vecteurs de support (SVM) couplées à une recherche d'hyperparamètres par GridSearch ont donné les meilleurs résultats.

Cet article met en avant l'utilisation de points 3D pour la reconnaissance des émotions, nous avons donc décidé de nous inspirer de cette démarche en utilisant les points de repères 2D fournis dans le fichier CSV pour entraîner notre modèle de reconnaissance des émotions. Les résultats des différents modèles testés dans ce papier nous ont également conforté dans notre choix d'utiliser un modèle SVM pour notre projet.

2 Analyse des Données

2.1 Description des Données

Le visage manifeste près de 2/3 des émotions chez un humain [2]. Les zones les plus démonstratives sont principalement situées au niveau des lèvres, des sourcils, des yeux mais également des yeux et du nez (malgré qu'ils sont moins significatifs sur leurs représentations) [2]. Les données fournies sont représentées dans un fichier CSV. Il y a au total 978 observations, toutes sous le même format. Chacune d'entre elle est représentée sur une même ligne et 138 colonnes. La première colonne est réservée pour le nom de l'image. La deuxième colonne représente simplement le label de l'observation parmi les suivants : 'neutral', 'anger', 'fear', 'surprise', 'disgust', 'sad' et 'happy'. Pour les 136 colonnes restantes, elles sont séparées en deux parties. En effet, les 64 premières valeurs et les 64 dernières valeurs sont respectivement les coordonnées en X et en Y de chaque point encadrant le visage et plus précisément les zones mentionnées plus tôt. Ces points forment les points clés du visage et sont utilisés pour la reconnaissance des émotions.

2.2 Exploration des Données

Nous allons dans un premier temps nous familiariser avec les données afin de comprendre leur structure mais également leur distribution. Nous remarquons que notre jeu de données est de manière générale bien réparti comme présenté sur la figure 1. Nous notons tout de même une quantité moins importante de données pour les labels 'happy' et 'neutral'.

Comme précisé dans la partie précédente, nous disposons d'un fichier CSV contenant les coordonnées des points clés du visage. Pour nous familiariser avec les données, nous allons visualiser quelques visages marqués de ces points clés comme présenté sur la figure 2. Ces points délimitent les zones du visage les plus significatives pour la reconnaissance des émotions comme les yeux, les sourcils, la bouche et le nez. Ces points sont utilisés pour extraire les caractéristiques du visage et entraîner notre modèle de reconnaissance des émotions.

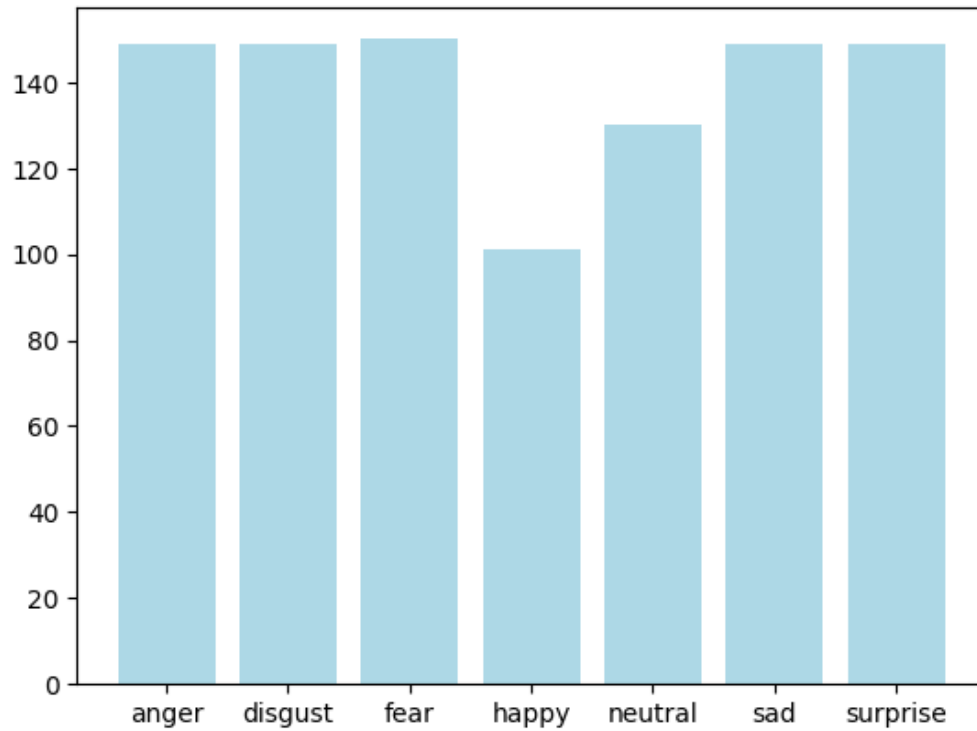


FIGURE 1 – Disribution des émotions dans le jeu de données

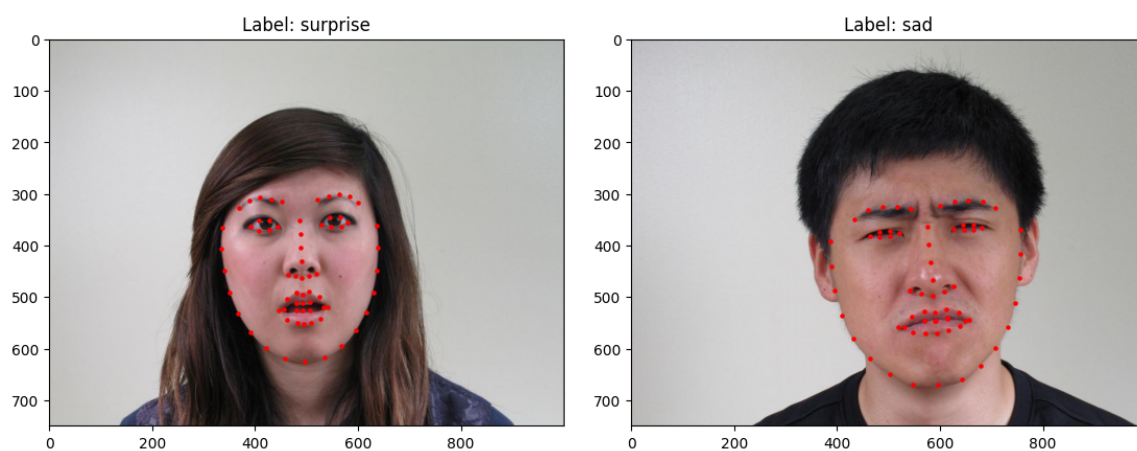


FIGURE 2 – Exemple de visage avec points clés

3 Prétraitement et Extraction des Features

3.1 Dans le cas des points de repères 2D

Comme spécifié auparavant, nous disposons donc des 138 caractéristiques représentant les coordonnées des points repères du visage. Avant de pouvoir construire notre modèle, il est essentiel de normaliser ces données. Nous les normalisons donc selon la manière suivante [3] :

$$X = \frac{(X - X_{mean})}{X_{std}} \quad (1)$$

En parallèle, nous devons également appliquer un traitement sur les labels des données. En effet ceux-ci correspondent à une variable qualitative parmi les 7 émotions. Nous devons donc l'encoder en entier entre 0 et 6, chaque entier correspondant à une émotion en particulier. Une fois ces traitements appliqués, nous pouvons commencer à réfléchir au modèle à utiliser.

3.2 Dans le cas des images

Nous avons également tenter de travailler avec les images. En effet, les repères de visage présentent tout de même plusieurs inconvénients et une partie de l'information est perdue. Les images quant à elle permettent d'avoir les textures, les rides du visage et autres informations susceptibles d'aider dans la reconnaissance d'émotions. Néanmoins, de nouveau défis surviennent lorsque nous utilisons les images, comme la luminosité ou encore l'orientation du visage.

Avant de les passer dans notre modèle, nous devons dans un premier temps appliquer plusieurs traitements sur nos images. Étant donné qu'une grande partie de l'image n'est pas utile pour le modèle (les cheveux, le cou, le fond de couleur grise) 2, nous devons recadrer l'image pour ne garder que le visage. Nous avons donc utiliser les points de repères pour recadrer l'image et ne garder que le visage. Nous avons également redimensionné les images pour qu'elles aient toutes la même taille (96x96). Le jeu de données étant assez petit, nous avons décidé de l'augmenter en utilisant différents procédés comme la rotation selon un angle aléatoire entre -5° et 5° et le décalage horizontal avec une probabilité de 50% 3. Ces méthodes permettent non seulement d'augmenter le jeu de données mais également de rendre le modèle plus général et éviter le surapprentissage.



FIGURE 3 – Exemple d'image augmentée

4 Modèle(s) choisi(s)

4.1 Paramétrage et Entraînement

4.1.1 Dans le cas des points de repères 2D

L'utilisation d'un modèle Support Vector Machine (SVM) n'est pas nouvelle est a déjà prouvé ses performances dans la reconnaissance d'émotions [3]. Nous avons donc décidé d'utiliser ce modèle couplé à une GridSearch afin de trouver les hyperparamètres optimaux pour le modèle.

GridSearch est une méthode utilisée afin de trouver les hyperparamètres optimaux pour un modèle. Elle prend en paramètre une grille d'hyperparamètres et va tester ensuite chaque combinaison pour faire ressortir la meilleure d'entre elle. Pour vérifier la performance des paramètres, GridSearch utilise la méthode "k-fold cross-validation" qui consiste à diviser les données d'entraînement en plusieurs sous-ensemble. Le modèle est entraîné ensuite sur l'un de ces sous-ensemble et est évalué sur le reste des données. Ce processus est répété k fois et permet d'éviter le surapprentissage du modèle. La meilleure combinaison d'hyperparamètres est ensuite utilisée pour entraîner le modèle sur l'ensemble des données d'entraînement. Il est important de noter que même si cette méthode permet de trouver les hyperparamètres optimaux, elle reste tout de même très gourmande en temps et en ressources.

Nous avons donc décidé d'utiliser cette méthode afin d'obtenir les meilleurs hyperparamètres pour le modèle SVM. Il possède plusieurs paramètres :

- C aussi appelé paramètre de régularisation qui permet de gérer la marge. Une grande valeur de C implique une petite marge mais peu d'erreurs de classification tandis qu'une petite valeur de C entraîne davantage d'erreur de classification mais une marge plus grande qui implique une plus grande généralisation.
- Le kernel qui permet de séparer les données. Nous pouvons choisir ici parmi plusieurs kernel dont 'rbf', 'linear' ou encore 'poly' ou 'sigmoid'.
- Gamma qui est un paramètre uniquement présent pour les kernels non-linéaires et qui permet d'épouser davantage la "forme" des données

Les résultats fournies par la GridSearch nous donnent les hyperparamètres optimaux pour notre modèle SVM. Nous trouvons que le modèle SVM avec un kernel 'linear', un C de 10 et un gamma de 0.01 est le meilleur modèle pour notre jeu de données.

4.1.2 Dans le cas des images

Pour les images, nous avons décidé d'utiliser un modèle de réseau de neurones convolutif (CNN). Ces modèles ont démontrés leur efficacité dans la reconnaissance d'images et notamment dans la reconnaissance d'émotions. Les paramètres utilisés pour entraîner le modèle sont les suivants :

- α : Le pas d'apprentissage = 0.001
- epochs : Le nombre d'itérations sur le jeu de données = 20

- `batch_size` : Le nombre d'échantillons utilisés pour mettre à jour les poids du modèle = 32

La structure et l'architecture du modèle que nous avons choisi et construit est présentée sur la figure 4. Cette architecture est inspirée de celle référencée par [4]

Layer (type)	Output Shape	Param #
Conv2d-1	[-1, 32, 96, 96]	896
ReLU-2	[-1, 32, 96, 96]	0
MaxPool2d-3	[-1, 32, 48, 48]	0
Conv2d-4	[-1, 64, 48, 48]	18,496
ReLU-5	[-1, 64, 48, 48]	0
MaxPool2d-6	[-1, 64, 24, 24]	0
Conv2d-7	[-1, 128, 24, 24]	73,856
ReLU-8	[-1, 128, 24, 24]	0
MaxPool2d-9	[-1, 128, 12, 12]	0
Linear-10	[-1, 512]	9,437,696
ReLU-11	[-1, 512]	0
Dropout-12	[-1, 512]	0
Linear-13	[-1, 7]	3,591
Total params: 9,534,535		
Trainable params: 9,534,535		
Non-trainable params: 0		
Input size (MB): 0.11		
Forward/backward pass size (MB): 8.87		
Params size (MB): 36.37		
Estimated Total Size (MB): 45.35		

FIGURE 4 – Architecture du modèle CNN

Le modèle prend en entrée des images de taille 96x96x3 (3 canaux pour les couleurs RGB) et les passe à travers plusieurs couches de convolution et de pooling. Ces couches permettent d'extraire les caractéristiques des images et de réduire la dimensionnalité des données. Les couches de convolution sont suivies de couches d'activation de type ReLU puis de couches de pooling. Les couches de pooling permettent de réduire la dimension des données. Une fois les caractéristiques extraites, elles sont passées à travers des couches de neurones denses pour la classification. La couche de dropout à 0.35 est présente juste avant la dernière couche dense et permet de réduire le surapprentissage du modèle. La dernière couche est une couche dense avec 7 neurones pour la classification des 7 émotions.

Malgré des résultats plutôt satisfaisants présentés dans la section suivante, nous avons tenté d'améliorer la précision en validation avec l'ajout de plusieurs couches de dropout, et pour être plus précis, une après chaque couche de convolution 5. Ces couches de dropout permettent de réduire le surapprentissage du modèle en désactivant aléatoirement un

certain nombre de neurones à chaque itération. Elles ralentissent l'apprentissage du modèle mais permettent d'obtenir une meilleure généralisation. Néanmoins, cette modification n'a pas été concluante. La précision en validation reste la même et le modèle mets davantage de temps pour s'entraîner. Nous avons donc décidé de conserver la première architecture. Les hyperparamètres utilisés pour entraîner ce modèle sont les suivants :

- α : Le pas d'apprentissage = 0.000065
- epochs : Le nombre d'itérations sur le jeu de données = 600
- batch_size : Le nombre d'échantillons utilisés pour mettre à jour les poids du modèle = 8

Layer (type)	Output Shape	Param #
Conv2d-1	[-1, 32, 96, 96]	896
ReLU-2	[-1, 32, 96, 96]	0
MaxPool2d-3	[-1, 32, 48, 48]	0
Dropout-4	[-1, 32, 48, 48]	0
Conv2d-5	[-1, 64, 48, 48]	18,496
ReLU-6	[-1, 64, 48, 48]	0
MaxPool2d-7	[-1, 64, 24, 24]	0
Dropout-8	[-1, 64, 24, 24]	0
Conv2d-9	[-1, 128, 24, 24]	73,856
ReLU-10	[-1, 128, 24, 24]	0
MaxPool2d-11	[-1, 128, 12, 12]	0
Dropout-12	[-1, 128, 12, 12]	0
Linear-13	[-1, 512]	9,437,696
ReLU-14	[-1, 512]	0
Dropout-15	[-1, 512]	0
Linear-16	[-1, 7]	3,591
Total params: 9,534,535		
Trainable params: 9,534,535		
Non-trainable params: 0		
Input size (MB): 0.11		
Forward/backward pass size (MB): 9.86		
Params size (MB): 36.37		
Estimated Total Size (MB): 46.33		

FIGURE 5 – Architecture du modèle CNN avec couches de dropout

4.2 Résultats

4.2.1 Dans le cas des points de repères 2D

Le meilleur modèle SVM entraîné sur les données fournies présente une précision de 78.06% sur les données de tests. La matrice de confusion est présentée sur la figure 6. Nous pouvons voir que le modèle a quelques difficultés à distinguer et différencier les émotions 'anger' et 'disgust'. Ceci s'explique par le fait que ces deux émotions rendent le visage plutôt similaire avec des poits clés du visage proches.

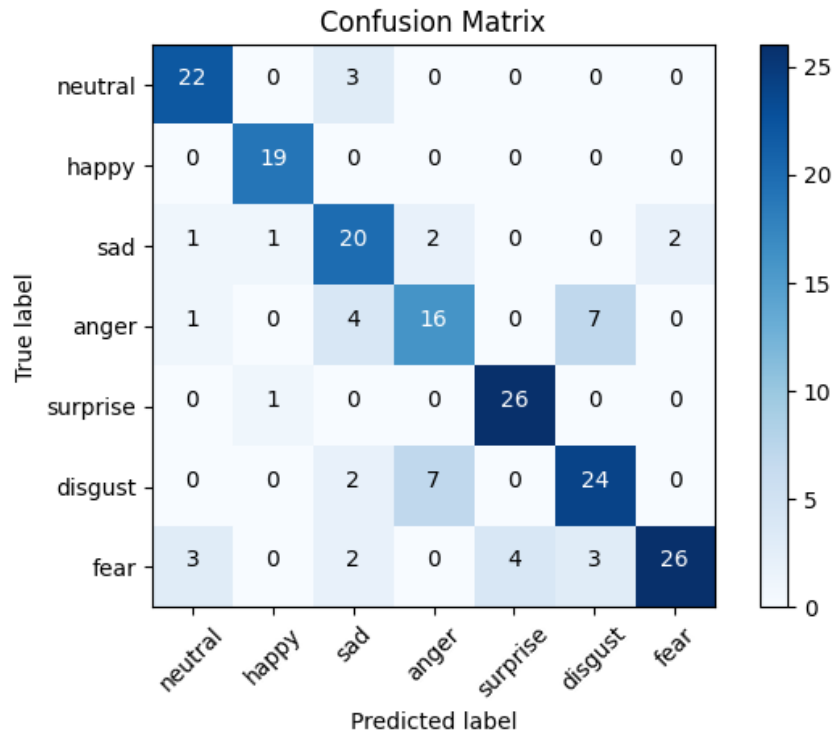


FIGURE 6 – Matrice de confusion des résultats

4.2.2 Dans le cas des images

Le modèle CNN entraîné sur les images augmentées et redimensionnées grâce aux points de repères du visage présente une précision de 74.32% sur les données de tests. Le graphique présentant l'évolution de la précision au cours de l'entraînement sur les jeux de données d'entraînement et de validation est présenté sur la figure. Nous remarquons qu'au bout d'un certain temps, la précision en validation stagne tandis que celle en entraînement continue d'augmenter. Cela est sans doute dû à un surapprentissage du modèle.

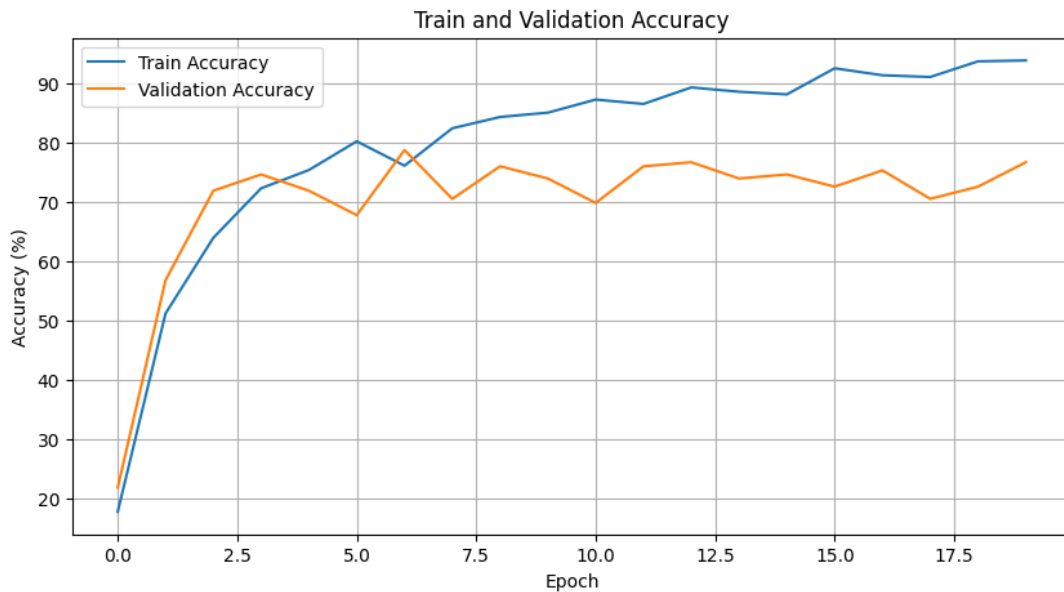


FIGURE 7 – Précision du modèle CNN au cours de l'entraînement

5 Évaluation des Modèles

5.1 Discussions et Limites

Le modèle SVM s'est montré plutôt performant avec les paramètres que nous avons choisis. Néanmoins, la précision du modèle est sujette à une certaine limite causée majoritairement par le type et la forme des données en entrée du modèle. En effet, les points clés du visage ne sont pas forcément toujours caractéristique d'une émotion et les points peuvent beaucoup varier d'une personne à l'autre quand bien même l'émotion représentée est la même. Les points repères du visage sont donc parfois biaisés selon l'origine de la personne ou la forme de son visage. Nous pouvons cependant retenir que ce modèle présente un temps computationnel plutôt court, notamment grâce au nombre réduit de caractéristiques en entrée.

Lors du rapport intermédiaire et suite à une pseudo-labellisation manuelle des données de tests fournies, le modèle SVM obtient une précision de 52%. Cette précision est bien inférieure à celle relevée sur nos données de tests. Ceci peut s'expliquer par une forte variance des points repères du visage d'une personne à l'autre.

Le modèle CNN, quant à lui présente une précision beaucoup plus importante sur les données de tests. Les images présentent en effet plus de caractéristiques et d'informations que les points de repères du visage. Néanmoins, nous ne parvenons pas à obtenir une précision moyenne supérieure à 80%. La première raison porte sur les données en elles-mêmes. En effet, le jeu de données est assez petit et malgré notre augmentation de données, le modèle reste sujet à un surapprentissage, comme le montre la stagnation de la précision en validation. La deuxième raison que nous pensons moins probable porte sur l'architecture du modèle en elle-même et sur le choix des hyperparamètres. Néanmoins, d'après les articles que nous avons étudiés, cette architecture est plutôt standard pour la reconnaissance d'émotions sur des images. Nous avons tenté d'ajouter des couches de convolution et de pooling supplémentaires mais cela n'a pas amélioré la précision du modèle. Lors du

rapport intermédiaire et suite à une pseudo-labellisation manuelle des données de tests fournies, le modèle CNN obtient une précision de 78%. Nous restons donc confiants sur la performance de notre modèle.

6 Conclusion

Ce rapport a présenté différentes technique de Machine Learning pour la reconnaissance des émotions. Nous avons abordé l'utilisation des points de repères du visage pour extraire les caractéristiques du visage et entraîner un modèle SVM. Cette approche, bien que rapide et efficace, présente des limites en termes de généralisation et de précision. Les points clés du visage, bien que représentatifs des émotions, peuvent varier d'une personne à l'autre et ne sont pas toujours caractéristiques d'une émotion. Nous perdons également un certain nombre d'information comme les textures du visage ou encore les rides provoquées par l'émotion. Les résultats montrent que l'utilisation des points de repères seuls ne suffisent pas pour une reconnaissance précise des émotions. L'utilisation d'images couplée à celle des points de repère semble être une alternative solide comme le montre nos résultats. Néanmoins, nous trouvons que la précision du modèle CNN est encore trop faible et que le modèle est sujet à un surapprentissage.

Références

- [1] E. Sariyanidi, H. Gunes, and A. Cavallaro, "Automatic Analysis of Facial Affect : A Survey of Registration, Representation, and Recognition," vol. 37, no. 6, pp. 1113–1133.
- [2] B. Ko, "A Brief Review of Facial Emotion Recognition Based on Visual Information," vol. 18, no. 2, p. 401.
- [3] L. Kalapala, H. Yadav, H. Kharwar, and S. Susan, *Facial Expression Recognition from 3D Facial Landmarks Reconstructed from Images*.
- [4] E. S. Agung, A. P. Rifai, and T. Wijayanto, "Image-based facial emotion recognition using convolutional neural network on emognition dataset," vol. 14, no. 1, p. 14429.